

渐开线内啮合 圆柱齿轮传动

张 展 朱景梓 秦立高 编著

国防工业出版社

350971

渐开线内啮合圆柱齿轮传动

张 展 朱景梓 秦立高 编著



国防工业出版社

DW02/30
内 容 简 介

本书对渐开线内啮合圆柱齿轮传动的啮合原理、直齿与斜齿圆柱齿轮传动的变位与几何计算、各种干涉与对策、对少齿差和零齿差的设计与制造、齿轮测量参数与传动效率的计算、齿廓修形与齿向修形、内齿轮的加工与工艺等方面都作了详细的分析与论述。书中编入了国内外最新资料，是大量实践经验与科研成果的总结。附录中附有127幅内啮合齿轮传动的封闭图，可供科研、工程设计人员查用。

本书可供广大科研工作者与工程技术人员阅读，也可供工科院校师生参考。



*
850×1168 1/32 印张10^{3/4} 282千字
1991年7月第一版 1991年7月第一次印刷 印数：0,001—4,000册

ISBN 7-118-00656-4/TH·45 定价：8.10元

前　　言

齿轮是使用量大面广的传动元件，齿轮的生产水平是一个国家工业水平的象征之一。

渐开线齿轮自 18 世纪 60 年代发明以来，已有 200 多年的历史，至今仍广泛地使用着，一直保持其强大的生命力。主要原因在于传动可靠、传动比恒定、好加工，便于使用与推广。

渐开线齿轮的原理自 1765 年欧拉 (L. Euler) 提出渐开线齿形以来有很大的发展。1837 年英国威里斯 (R. Willis) 提出了渐开线齿轮中心距变动不影响传动比的理论，并提出 $14\frac{1}{2}^{\circ}$ 压力角齿形制。1873 年德国霍普 (Hoppe) 提出变位齿轮概念，以及 20 世纪变位齿轮又得到广泛而深入地研究，直到 50 年代苏联加夫里连科 (В. А. Гавриленко) 提出封闭图概念，又经格罗曼 (М. Б. Гротман)、鲍洛托夫斯卡娅 (Т. П. Болотовская)、鲍洛托夫斯基 (И. А. Болотовский) 等绘制了大量实用的封闭图，从而圆满地解决了变位系数的选择问题。当今工业上 90% 以上的齿轮是采用变位齿轮，使其承载能力有很大的提高。

本书对内啮合圆柱齿轮传动的变位与几何计算、各种干涉与对策、对少齿差和零齿差的设计与制造、传动效率的确定、齿廓修形和齿向修形、内齿轮的加工与工艺等方面作了详细的分析与论述。并提供了 127 幅内啮合齿轮传动的封闭图，供设计时参考使用。本书可供教学、生产和科研工作者参考。

限于编者水平，书中不妥之处，敬希读者批评指正。

编著者

目 录

| | |
|------------------------------------|----|
| 主要符号 | 1 |
| 第一章 概论 | 5 |
| § 1.1 滚齿线齿廓啮合传动的特点 | 6 |
| § 1.2 内齿轮副正确啮合及连续传动条件 | 9 |
| § 1.3 内啮合齿轮传动的特点 | 11 |
| 第二章 内啮合直齿圆柱齿轮传动 | 13 |
| § 2.1 齿轮各部分名称和代号 | 13 |
| § 2.2 基准齿形和基本参数的选择 | 15 |
| 一、渐开线圆柱齿轮基准齿形 (GB1356-78) | 15 |
| 二、渐开线圆柱齿轮的模数 | 16 |
| 三、基本参数的选择 | 20 |
| § 2.3 内啮合直齿轮传动的几何计算 | 24 |
| 第三章 内啮合传动变位与干涉 | 26 |
| § 3.1 插齿刀及其齿形 | 26 |
| § 3.2 内啮合传动的变位 | 31 |
| § 3.3 内齿轮加工时的干涉——顶切现象 | 34 |
| 一、插齿刀齿根在参与切削过程中，使内齿轮产生齿顶干涉 顶切现象 | 35 |
| 二、插齿刀径向进给时产生切入顶切现象 | 37 |
| 三、插齿刀加工内齿轮时的负啮合角现象 | 41 |
| § 3.4 内啮合传动中的干涉 | 44 |
| 一、渐开线干涉 | 44 |
| 二、齿廓重迭干涉 | 46 |
| 三、径向干涉 | 49 |
| 四、过渡曲线干涉 | 51 |

| | |
|-----------------------------------|-----|
| 第四章 内啮合斜齿圆柱齿轮传动 | 56 |
| § 4.1 斜齿轮形成原理及其啮合的基本条件 | 56 |
| 一、斜齿轮齿面的形成 | 56 |
| 二、内啮合斜齿轮啮合的基本条件 | 56 |
| § 4.2 斜齿轮传动的计算特点及计算公式 | 57 |
| 一、斜齿轮传动的计算特点 | 57 |
| 二、内啮合斜齿轮传动的几何计算 | 60 |
| 三、斜齿轮的重合度计算 | 63 |
| § 4.3 斜齿轮的法面齿形与当量齿数 | 64 |
| 第五章 内啮合变位齿轮传动的几何计算 | 67 |
| § 5.1 内啮合圆柱齿轮变位系数的选择原则 | 67 |
| 一、变位对内啮合齿轮强度的影响 | 67 |
| 二、变位对顶切、干涉和重合度的影响 | 67 |
| § 5.2 内啮合传动变位系数的选择方法 | 68 |
| 一、查表法 | 68 |
| 二、线图法 | 70 |
| 三、封闭图法 | 85 |
| 四、变位系数选择与分配 | 88 |
| 五、用简化方法计算变位齿轮参数 | 90 |
| § 5.3 内啮合传动的几何计算 | 101 |
| 一、角度变位内啮合齿轮传动几何参数的特点 | 101 |
| 二、插齿刀加工齿轮几何尺寸计算的特点 | 104 |
| 三、齿根圆与齿顶圆直径的计算 | 104 |
| 四、顶隙混合制 | 105 |
| § 5.4 传动质量指标 | 113 |
| 一、内啮合齿轮传动的滑动率 | 113 |
| 二、渐开线齿廓的几何压力系数 | 117 |
| 第六章 内啮合副中的几种典型传动 | 124 |
| § 6.1 增大端面重合度 ε_a 的传动 | 124 |
| § 6.2 小啮合角传动 | 130 |
| § 6.3 少齿差内啮合传动 | 133 |
| 一、概述 | 133 |

| | |
|--------------------------------------|------------|
| 二、少齿差内啮合传动设计时应考虑的因素 | 134 |
| 三、变位系数的选择 | 143 |
| 四、少齿差内啮合齿轮传动的几何计算 | 145 |
| § 6.4 零齿差内啮合传动 | 148 |
| 一、啮合方程式及传动特性 | 149 |
| 二、零齿差内啮合传动应满足的条件 | 152 |
| 三、综合界限曲线图 | 156 |
| 四、数值实例 | 157 |
| 五、对零齿差输出机构的要求及其几何计算 | 159 |
| 六、零齿差齿轮副的加工 | 163 |
| 第七章 齿根过渡曲线的几何形状 | 167 |
| § 7.1 齿根过渡曲线 | 167 |
| § 7.2 内齿轮齿形系数 | 174 |
| 一、包络条件方程 | 175 |
| 二、载荷作用于单齿对啮合上界点时的齿形系数 y_P | 178 |
| 三、载荷作用于齿顶时的齿形系数 y_{Fa} | 179 |
| 第八章 齿廓修形和齿向修形 | 183 |
| § 8.1 齿廓修形 | 183 |
| 一、齿廓修形的原因 | 183 |
| 二、修形量的确定 | 185 |
| 三、齿廓修形的方法 | 188 |
| § 8.2 齿向修形 | 192 |
| 一、齿向修形的原因 | 192 |
| 二、齿向修形量的确定 | 193 |
| 三、齿向修形的方法 | 202 |
| 第九章 齿轮测量参数的计算 | 203 |
| § 9.1 任意半径圆周上的弧齿厚 | 203 |
| § 9.2 分度圆弦齿厚及固定弦齿厚 | 205 |
| 一、分度圆弦齿厚 s 和弦齿高 h | 205 |
| 二、固定弦齿厚 s_c 和固定弦齿高 h_c | 209 |
| § 9.3 公法线长度的计算 | 212 |
| § 9.4 量柱（球）距M的计算 | 225 |

| | |
|--|------------|
| 一、内齿轮的量柱（球）距 M 的计算 | 225 |
| 二、外齿轮的量柱（球）距 M 的计算 | 227 |
| 三、齿轮副的侧隙与齿厚的极限偏差的确定 | 231 |
| § 9.5 齿轮加工时进刀量的确定 | 233 |
| 一、滚齿加工 | 234 |
| 二、插齿加工 | 236 |
| 第十章 齿轮传动效率的计算 | 241 |
| § 10.1 齿轮传动啮合效率η_m的计算 | 242 |
| 一、渐开线变位外齿轮副的啮合效率 | 242 |
| 二、渐开线变位内齿轮副的啮合效率 | 247 |
| 三、渐开线少齿差内啮合变位齿轮副的啮合效率 | 251 |
| 四、零齿差渐开线变位内啮合齿轮副的啮合效率 | 256 |
| § 10.2 轴承传动效率η_B | 260 |
| § 10.3 计及油阻损失传动效率η_s的确定 | 261 |
| 第十一章 行星齿轮传动机构 | 263 |
| § 11.1 没有惰轮的机构 | 264 |
| § 11.2 具有惰轮的机构 | 265 |
| 第十二章 内齿轮的加工与精度分析 | 272 |
| § 12.1 齿轮的精度与测量 | 272 |
| 一、齿轮的精度 | 272 |
| 二、齿轮量仪 | 272 |
| 三、齿轮刀具 | 273 |
| 四、齿面粗糙度 | 277 |
| § 12.2 内齿轮的加工 | 278 |
| 一、直齿内齿轮的加工 | 278 |
| 二、斜齿内齿轮的加工 | 280 |
| § 12.3 内齿轮加工中产生误差的原因及其对策 | 282 |
| 一、机床运动误差 | 282 |
| 二、刀具误差和刀具安装误差 | 283 |
| 三、工件误差和工件安装误差 | 284 |
| 四、机床、刀具和工件的综合误差 | 285 |
| 五、加工过程中引起的工件误差 | 285 |

| | |
|----------------------|-----|
| § 12.4 齿轮工艺 | 286 |
| 一、材料与热处理 | 286 |
| 二、齿坯加工 | 287 |
| 三、齿形加工方案选择 | 288 |
| 四、精基准的修整 | 289 |
| 附录 内啮合齿轮传动的封闭图 | 292 |
| 参考文献 | 335 |

主要符号

| | | | |
|-----------|---------------------------------|-------------|-------------------------------|
| a | 中心距, 标准齿轮、 高度变位齿轮中心距 (mm) | d_f | 齿根圆直径 |
| a' | 实际工作中心距, 角 度变位齿轮中心距 | d_{f1} | 小齿轮齿根圆直径 |
| a'_0 | 用插齿刀切齿时的中 心距 | d_{f2} | 内齿轮齿根圆直径 |
| a'_{01} | 用插齿刀切制小齿轮 时的切齿中心距 | d_s | 任意圆直径 |
| a'_{02} | 用插齿刀切制内齿轮 时的切齿中心距 | d' | 节圆直径 |
| b | 齿宽 (mm) | d'_1 | 小齿轮节圆直径 |
| b' | 工作齿宽 | d'_2 | 内齿轮节圆直径 |
| c | 顶隙 | d_1 | 小齿轮分度圆直径 |
| c^* | 顶隙系数 (对斜齿轮 系指法向顶隙系数) | d_2 | 内齿轮分度圆直径 |
| c_t^* | 端面顶隙系数 | d_o | 插齿刀分度圆直径 |
| d | 直径, 分度圆直径 | h | 齿高 (mm) |
| d_a | 齿顶圆直径 | h_a | 齿顶高 |
| d_{a0} | 插齿刀顶圆直径 | h_{a1} | 小齿轮齿顶高 |
| d_{a1} | 小齿轮顶圆直径 | h_{a2} | 内齿轮齿顶高 |
| d_{a2} | 内齿轮顶圆直径 | h_a^* | 齿顶高系数 (对斜 齿轮系指法向齿顶 高系数) |
| d_b | 基圆直径 | h_{at}^* | 端面齿顶高系数 |
| d_{b1} | 小齿轮基圆直径 | h_{a0} | 刀具齿顶高 |
| d_{b2} | 内齿轮基圆直径 | h_{a0}^* | 刀具齿顶高系数 |
| | | \bar{h}_a | 分度圆齿厚弦齿高 |
| | | \bar{h}_e | 固定弦齿顶 |
| | | h_f | 齿根高 |
| | | h_{f1} | 小齿轮齿根高 |
| | | h_{f2} | 内齿轮齿根高 |

| | | | |
|----------------------|--------------------------------|-----------------------|---|
| h' | 工作齿高 | s_r | 任意圆齿厚 |
| h_1 | 小齿轮齿高 | $u = \frac{z_2}{z_1}$ | 齿数比 |
| h_2 | 内齿轮齿高 | | |
| i | 传动比 | v | 速度, 分度圆 的圆周速度, (m/s) |
| j | 侧隙 | w_k | 公法线长度 (斜齿轮为法 面公法线长 度) |
| j_s | 齿轮副的法向侧隙 | | |
| j_r | 齿轮副的径向侧隙 | W^* | $m = 1$ 时的公 法线长度 |
| j_c | 齿轮副的圆周侧隙 | W_r | 端面公法线长 度 |
| k | 跨测齿数(对内齿 轮为跨测齿槽数) | | |
| $\text{inv } \alpha$ | 渐开线函数 | | |
| M | 量柱(球)距 | | |
| m | 模数(斜齿轮系指 法向模数) | | |
| m_t | 端面模数 | x | 径向变位系数 |
| p | 齿距, 周节(mm) | x_{\min} | 不产生根切的 最小变位系 数 |
| p_b | 基圆齿距, 基节 (对于斜齿轮为法 向基圆齿距) | x_r | 端面变位系数 |
| p_{tr} | 端面基圆齿距 | x_c | 切向变位系数 |
| p_t | 端面齿距 | $x_2 = x_i \pm x_1$ | 变位系数和 (“+”号用于 外啮合, “-” 号用于内啮 合) |
| p_z | 导程 | | |
| r | 半径, 分度圆半径 (mm) | y | 中心距变动系 数 |
| s | 齿厚, 分度圆齿厚 | y_r | 端面中心距变 动系数 |
| \bar{s} | 分度圆弦齿厚 | y_0 | 用插齿刀加工 |
| s_a | 齿顶厚 | | |
| s_{ar} | 端面齿顶厚 | | |
| \bar{s}_e | 固定弦齿厚 | | |
| s_f | 齿根圆齿厚 | | |

| | |
|---|-----------------------------------|
| 齿轮时的中心距变动系数 | 角 |
| y_{01} ——用插齿刀加工小齿轮时的中 心距变动系数 | α_y ——任意圆压力角 |
| y_{02} ——用插齿刀加工内齿轮时的中 心距变动系数 | α_z ——端面压力角 |
| y_F ——齿形系数 | α' ——啮合角 |
| Δy ——齿顶高变动系 数(以往称反变 位系数或齿顶 高缩短系数) | α'_{01} ——用插齿刀切制 小齿轮时的啮 合角 |
| z ——齿数 | α'_{02} ——用插齿刀切制 内齿轮时的啮 合角 |
| z_{min} ——不产生根切的 最少齿数 | β ——螺旋角, 分度 圆螺旋角 |
| z_1 ——小齿轮齿数 | β_b ——基圆螺旋角 |
| z_2 ——内齿轮齿数 | β_1 ——小齿轮螺旋角 |
| $z_s = z_2 \pm z_1$ ——齿数和(“+”号 用于外啮合, “-”号用于内 哮合) | β_2 ——内齿轮螺旋角 |
| z_0 ——插齿刀齿数 | ε ——重合度 |
| z_v ——当量齿数 | ε_a ——端面重合度 |
| α ——齿形角, 分度 圆压力角, 基 本齿条齿形角 | ε_β ——纵向重合度 |
| α_a ——齿顶压力角 | ε_y ——总重合度 |
| α_m ——量柱(球)中心 所在圆的压力 | η ——滑动率 |
| | η_{1max} ——小齿轮齿根处 的最大滑动率 |
| | η_{2max} ——内齿轮齿根处 的最大滑动率 |
| | φ ——齿宽系数 |
| | $\varphi_a = b / a$ ——对中心距的齿 宽系数 |
| | $\varphi_m = b / m$ ——对模数的齿宽 系数 |
| | $\varphi_d = b / d$ ——对分度圆直径 |

的齿宽系数

半径

ρ ——曲率半径

ρ_r ——齿根圆角曲率半径

ρ_a ——齿顶圆角曲率

ρ_{r0} ——刀具齿根圆角半径

半径

ρ^* ——齿根圆角半径系数

ρ_{a0} ——刀具齿顶圆角

第一章 概 论

所谓内啮合齿轮传动就是一个内齿轮和一个外齿轮相啮合的传动。内啮合传动和外啮合传动有许多类似的地方，内啮合时有很多规律与外啮合时相同，但亦有其特殊的规律。内啮合传动中存在很多干涉，尤其是少齿差内啮合传动更为如此，因此，几乎在所有情况下，内啮合齿轮都是变位齿轮。就少齿差内啮合传动而言，往往会产生齿廓重迭干涉和径向干涉，在装配和加工内齿轮时，会导致致命的恶果。因此用插齿刀加工内齿轮，或使内齿轮与外齿轮相啮合时，必须对这些干涉进行充分的研究，校核有无这些干涉，以及避免这些干涉所采取的措施。这对齿轮设计者和现场插齿技术工作者来说是个很重要的问题，弄清这些问题是中国齿轮行业的一大研究课题。迄今为止，关于标准渐开线内啮合齿轮干涉的文章发表了不少，实用上最重要的变位内齿轮的干涉问题，则研究得不多。其原因是，解这些干涉界限的理论公式时，不论那一种都必须采用试凑法去解其超越方程式。其变量由外齿轮齿数 z_1 、内齿轮齿数 z_2 和各自的变位系数 x_1 、 x_2 等组合而成的，而且需要进行许多位数的精确计算，作出变位内齿轮的干涉界限线图，或是变位系数选择的封闭图，是一件很困难的工作。因此，对渐开线变位内齿轮的加工和啮合时所产生的齿廓重迭干涉、渐开线干涉、径向干涉和其他问题应作理论探讨，用所得结果进行精确数值计算，并用电子计算机求解，从而作出刀具压力角 $\alpha_0=20^\circ$ 的渐开线变位内齿轮的设计和加工时，可应用的干涉界限线图或内啮合传动的“封闭图”，选择比较合理的变位系数，用标准齿插齿刀，制造出重合度大于1、完全没有干涉的一齿差渐开线内啮合齿轮副。对上述问题的研究是十分有意义的，现就这些方面作一论述。

§ 1.1 渐开线齿廓啮合传动的特点

一个渐开线齿轮的齿廓，是由同一基圆画出的两条对称的渐开线组成的。用这样的齿形做成的齿轮，啮合传动时有如下一些特点：

1. 传动比恒定不变

在图 1-1 所示的内啮合传动中，当两个齿轮的一对渐开线齿廓在任意点啮合时，过该点可作该两齿廓的公法线 N_1N_2 ，根据渐开线性质之一，法线切于基圆，此公法线 N_1N_2 必分别与两基圆相切而成为其公切线。若在齿轮 1 的推动下，该两齿廓转至任意点啮合，过此点仍可作两齿廓的公法线，它必然仍与两基圆相切。由于该两基圆的大小、位置均已确定，其在一个方向上的外

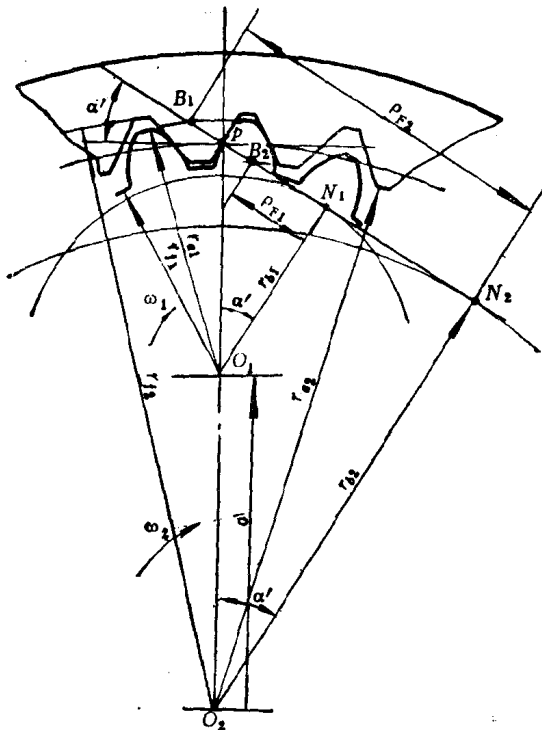


图1-1 直齿内齿轮的啮合

公切线只有一条，因而不论该两齿廓在何处啮合，其啮合点的公法线必为两基圆的外公切线 $\overline{N_1N_2}$ 。因此， $\overline{N_1N_2}$ 与中心线 $\overline{O_1O_2}$ 的交点也只有一个，即为 P 点。也就是说， P 点的位置是固定不变的。根据三心定理， P 点为两齿轮的相对瞬心，即 P 点为齿轮 1 和齿轮 2 上速度相同的点。设齿轮 1 (外齿轮) 上 P 点的速度 v_{p1} ，齿轮 2 (内齿轮) 上 P 点的速度为 v_{p2} ，则有：

$$\begin{aligned} v_{p1} &= v_{p2} = v_p \\ \text{而 } v_{p1} &= \overline{O_1P}\omega_1, \quad v_{p2} = \overline{O_2P}\omega_2, \text{ 故} \\ \overline{O_1P}\omega_1 &= \overline{O_2P}\omega_2 \end{aligned}$$

即传动比 i_{12} 为

$$i_{12} = \frac{\omega_1}{\omega_2} = \frac{\overline{O_2P}}{\overline{O_1P}} \quad (1-1)$$

由于两齿轮的中心距 O_1O_2 长度固定不变， P 点的位置也固定不变。因此，传动比 $i_{12} = \overline{O_2P}/\overline{O_1P}$ 应等于常数。这就是说，一对渐开线齿廓不论在何处啮合，两齿轮角速度之比 (传动比) 均等于 $\overline{O_2P}/\overline{O_1P}$ ，恒定不变。

以两齿轮的回转中心为圆心，分别以 $\overline{O_1P}$ 和 $\overline{O_2P}$ 为半径的圆，称为节圆 (pitch circle)，点 P 称为节点 (pitch point)，节圆半径分别用 r'_1 和 r'_2 表示，节圆直径用 d'_1 、 d'_2 表示。两齿轮啮合传动，就相当于直径为 d'_1 和 d'_2 的两摩擦轮的纯滚动传动。

2. 中心距变动不影响传动比

在图 1-1 中，连接 O_1N_1 和 O_2N_2 得 $\angle O_1P N_1 \approx \angle O_2P N_2$ ，于是有

$$i_{12} = \frac{\omega_1}{\omega_2} = \frac{\overline{O_2P}}{\overline{O_1P}} = \frac{\overline{O_2N_2}}{\overline{O_1N_1}} = \frac{r_{b2}}{r_{b1}} \quad (1-2)$$

式中 r_{b1} 、 r_{b2} ——分别为两齿轮的基圆半径。

这就是说，一对渐开线齿轮的传动比等于其基圆半径的反比。由于两齿轮已经加工完成，其基圆 (base circle) 半径不会改变，因此，不论该对齿轮中心距 (centre distance) O_1O_2 如何改变，

其传动比 (Transmission ratio) i_{12} 总等于其基圆半径的反比且为恒定值。这种中心距改变，而其传动比不变的性质，称为渐开线齿轮的可分性。根据这一性质，可以适当放宽渐开线齿轮的中心距公差和切深公差，以便于加工和装配。

此外，还可以利用渐开线齿轮的可分性，做成在一定范围内可调中心距的齿轮传动。例如，自动焊接机中带动送丝滚轮的传动，在保证传动比不变的条件下，可调节齿轮中心距以适应不同直径焊丝的要求。

3. 喷合线是过节点的直线

一对齿轮喷合过程中，轮齿喷合点（接触点）的轨迹称为喷合线 (path of contact)。

前面已经论及一对渐开线齿廓不论在何处喷合，其喷合点的公法线 $\overline{N_1N_2}$ 恒为两齿轮基圆的外公切线，所以轮齿只能在 $\overline{N_1N_2}$ 线上喷合，故直线 $\overline{N_1N_2}$ 即为喷合点的轨迹，并称为渐开线齿轮的理论喷合线，切点 N_1 和 N_2 称为极限喷合点。

喷合线 $\overline{N_1N_2}$ 与中心线 $\overline{O_1O_2}$ 的垂线间的夹角称为喷合角 (working pressure angle)，用 α' 表示，它就是渐开线齿廓在节点 P 处的压力角 (见图 1-1)。

当不计摩擦时，渐开线齿轮的齿廓间的作用力是沿着接触点的公法线方向作用的，即沿着喷合线的方向作用。因为喷合线是直线，故齿廓不论在何处喷合，其所传递力的方向总是沿着喷合线方向不变的，因而使渐开线齿轮传动平稳，这是渐开线齿轮传动一大优点之一。因此，直线 $\overline{N_1N_2}$ 有五名线之称，即喷合线、压力线、公法线、两基圆的公切线、 P 点齿廓的发生线。

4. 可与直线齿廓的齿条相喷合

当渐开线齿轮的齿数为无穷多，基圆为无穷大时，其齿形就由渐开线变成直线。用这种直线作齿形曲线的无穷大的齿轮称为齿条。显然，这种特殊形式的渐开线齿轮——齿条是能与一般渐开线齿轮喷合传动的。可以利用这一性质，把渐开线齿轮的转动转化为齿条的移动。同时，还可以利用直线齿形的刀具（如齿轮